

**ПРОТИВОИШЕМИЧЕСКИЙ И АНТИАРИТМИЧЕСКИЙ ЭФФЕКТЫ
ФЕНОМЕНОВ ДИСТАНТНОГО ИШЕМИЧЕСКОГО ПРЕ- И
ПОСТКОНДИЦИОНИРОВАНИЯ У КРЫС С ГИПЕРХОЛЕСТЕРИНЕМИЕЙ**

Юшкевич П.Ф., Висмонт Ф.И., Мрочек А.Г.

**УО «Белорусский государственный медицинский университет»
Республиканский научно-практический центр «Кардиология»**

Настоящее исследование посвящено выявлению воспроизводимости противоишемического и антиаритмического эффектов феноменов дистантного ишемического пре- и посткондиционирования миокарда у крыс с гиперхолестеринемией. Установлено, что указанные феномены не эффективны в плане ограничения размеров зоны некроза в миокарде левого желудочка крыс с гиперхолестеринемией. В тоже время у крыс с гиперхолестеринемией воспроизводится выраженный антиаритмический эффект феномена дистантного ишемического преко́ндиционирования.

Ключевые слова: противоишемический эффект, антиаритмический эффект, дистантное ишемическое преко́ндиционирование, дистантное ишемическое посткондиционирование, ишемия, реперфузия, гиперхолестеринемия, зона риска, зона некроза.

**ANTIISCHEMIC AND ANTIARRHYTHMIC EFFECTS PHENOMENONS OF
REMOTE ISCHEMIC PRE- AND POSTCONDITIONING IN RATS WITH
GYPERCHOLESTERINEMIA**

Jushkevich P.F., Vismont F.I., Mrochek A.G.

**Belarusian State Medical University
Research Centre Cardiology**

The aim of this study was to determine the antiischemic and antiarrhythmic effects phenomenonons of remote ischemic pre- and postconditioning in rats with hypercholesterinemia. It was found, that remote ischemic pre- and postconditioning in rats with hypercholesterinemia not protect myocardium against irreversible ischemia-reperfusion injury. However, remote ischemic preconditioning protect myocardium against arrhythmias in rats with hypercholesterinemia.

Key words: antiischemic effect, antiarrhythmic effect, remote ischemic preconditioning, remote ischemic postconditioning, ischemia, reperfusion, hypercholesterinemia, the area at risk, the area of necrosis.

Введение

На сегодняшний день заболевания сердечно-сосудистой системы занимают лидирующее положение среди причин инвалидности и смертности населения экономически развитых стран мира, в том числе и Республики Беларусь [1]. В структуре данной группы заболеваний одна из ведущих позиций принадлежит ишемической болезни сердца (ИБС) и в частности, острым ее формам – нестабильной стенокардии и острому инфаркту миокарда. Учитывая большую медицинскую и социальную значимость проблемы, поиск новых, эффективных методов кардиопротекции при острых нарушениях коронарного кровотока является актуальной задачей современной экспериментальной и клинической медицины. В частности, экспериментальные исследования последних лет продемонстрировали, что размер инфаркта миокарда и длительность ишемических нарушений сердечного ритма могут быть значительно уменьшены при помощи ишемии конечности, не только предшествующей длительной ишемии миокарда – дистантное ишемическое прекондиционирование (ДИПК) [2, 3, 4], но и осуществляемой через определенное (10 мин) время после начала реперфузии миокарда – дистантное ишемическое посткондиционирование (ДИПостК) [5]. Способность ДИПК и ДИПостК оказывать кардиопротекторное (противоишемическое и антиаритмическое) действие имеет место не только в экспериментальных исследованиях, но и в клинической практике [6, 7, 8, 9, 10].

В клинической практике необходимость защиты миокарда от ишемического и реперфузионного повреждения в основном возникает у пациентов пожилого возраста, имеющих различную сопутствующую патологию, в том числе связанную с нарушениями липидного обмена [13, 14, 15]. Как известно, одним из наиболее распространенных нарушений липидного обмена является гиперхолестеринемия (ГХЕ), которая является фактором риска сердечно-сосудистых заболеваний [22]. Имеющиеся в литературе данные экспериментальных исследований, касающихся воспроизводимости кардиопротекторных эффектов феноменов локального ишемического пре- и посткондиционирования у экспериментальных животных с ГХЕ, весьма противоречивы [11, 27]. Так, результаты одних исследований указывают на отсутствие противоишемического эффекта феноменов локального ишемического пре- и посткондиционирования [16, 17, 18, 19, 23], согласно данным других исследований, напротив, у экспериментальных животных с ГХЕ присутствует выраженный инфаркт-лимитирующий эффект указанных феноменов [20, 21, 24]. Причины такого расхождения результатов исследований до сих пор не выяснены. Предполагается, что важное значение в данной ситуации может иметь функциональное состояние печени [11, 12]. В тоже время данные о воспроизводимости

противоишемического и антиаритмического эффектов феноменов ДИПК и ДИПостК у экспериментальных животных с ГХЕ в современной литературе отсутствуют.

Цель исследования – выявление воспроизводимости противоишемического и антиаритмического эффектов феноменов дистантного ишемического пре- и посткондиционирования миокарда у крыс с гиперхолестеринемией.

Материалы и методы исследования

Исследование эффективности ДИПК и ДИПостК выполнено на 37 наркотизированных крысах-самцах линии Wistar с ГХЕ. Масса крыс составляла – 200-250 г., а их возраст – 3-4 мес. ГХЕ вызывали однократным интрагастральным введением животным 10% раствора холестерина, приготовленного на оливковом масле, в дозе 10 мл/кг в течение 10 дней. В качестве контроля использовали 21 крысу с аналогичными характеристиками, которым в течение 10 дней интрагастрально вводилось оливковое масло в дозе 10 мл/кг (крысы без ГХЕ). Для подтверждения наличия ГХЕ крысам выполнялось биохимическое исследование сыворотки крови с помощью биохимического анализатора Olympus (крысы с ГХЕ, n=8, крысы без ГХЕ, n=8). При этом определялось содержание в сыворотке крови общего холестерина (ОХ) и триглицеридов (ТГ). Воспроизведение экспериментальных протоколов на крысах с ГХЕ выполнялось через 24 часа после последнего введения холестерина. Для наркотизации животных использовали этаминал натрия в дозе 50 мг/кг внутривенно с последующей внутривенной инфузией поддерживающей дозы 10 мг/кг/час. Крыс переводили на искусственное дыхание атмосферным воздухом при помощи аппарата ИВЛ с частотой дыхания 56-60 в минуту. Наличие проходимости дыхательных путей контролировалось по давлению в трахее, нормальным значением которого на вдохе считалось 10-15 мм. рт. ст. В ходе экспериментов непрерывно регистрировались ЭКГ во II стандартном отведении и системное артериальное давление (АД), полученные при этом данные обрабатывались с помощью компьютерной программы Spike 4. Для определения АД крысам канюлировали правую общую сонную артерию. Температура тела измерялась в прямой кишке с помощью электротермометра Harvard (Великобритания) и поддерживалась электрогрелкой на уровне 37,0°C.

Грудную клетку наркотизированного животного вскрывали в четвертом межреберном промежутке слева. В контрольной группе крыс с ГХЕ после 15-минутной стабилизации гемодинамики выполняли 30-минутную окклюзию передней нисходящей коронарной артерии (ПНКА) путем механического ее пережатия при помощи фишки (контроль, n=11). Окклюзия артерии подтверждалась цианозом ишемизированной области, снижением АД (на 10 - 20 мм. рт. ст.) и подъемом сегмента ST на ЭКГ.

Реперфузия миокарда достигалась удалением фишки и подтверждалась исчезновением цианоза и возвращением сегмента ST к изолинии. Длительность реперфузии составляла 120 минут. Животные опытных групп с ГХЕ (ДИПК, n=14 и ДИПостК, n=12) дополнительно подвергались воздействию 15-минутной окклюзии обеих бедренных артерий соответственно за 10 мин до и через 10 мин после 30-минутной острой ишемии миокарда. Через 24 часа после последнего введения оливкового масла аналогичные протоколы экспериментов выполнялись на крысах без ГХЕ (контроль, n=7, ДИПК, n=7, ДИПостК, n=7).

Изучались следующие показатели гемодинамики: среднее АД (АДср.), частота сердечных сокращений (ЧСС), двойное произведение (ДП). АДср. рассчитывали как АД диастолическое + $1/3(\text{АД систолическое} - \text{АД диастолическое})$, ДП – как ЧСС×АД систолическое/100. Показатели гемодинамики регистрировались непрерывно в течение эксперимента и оценивались в конце 15-минутной стабилизации гемодинамики после вскрытия грудной клетки, в начале 30-минутной окклюзии ПНКА, в начале реперфузии, а также каждые 30 минут в течение реперфузии.

Зону риска определяли с помощью внутривенного введения в левую общую яремную вену 0,5 мл 5% раствора синьки Эванса в конце реперфузии при кратковременной повторной окклюзии ПНКА. Зона риска определялась, как не окрашенная в синий цвет. Затем сердце извлекали и отделяли правый желудочек. После замораживания в морозильной камере (-20°C в течение 30 мин) левый желудочек разрезали на 6 поперечных срезов. Срезы взвешивали на торсионных весах, затем их сканировали при помощи сканера HP с обеих сторон. После этого, для идентификации зоны некроза, срезы помещали в 1% раствор трифенилтетразолия хлорида на 15 минут при температуре 37°C . Жизнеспособный миокард (клетки, сохранившие дегидрогеназную активность) окрашивался в кирпично-красный цвет, а некротизированная ткань была белесой. После 24-часовой инкубации срезов в 10% растворе формалина срезы сканировали повторно для определения соотношения площадей зоны риска и зоны некроза. Размеры зон риска и некроза определяли при помощи компьютерной планиметрии с использованием программы Adobe Photoshop 6.0. Полученные в исследовании результаты заносились в электронную таблицу Excel 7.0 и обрабатывались с помощью стандартного пакета статистических программ Statistica 8. Статистическая значимость различий данных оценивалась при помощи ANOVA и теста множественных сравнений Данна. Данные представлены в формате среднее \pm стандартная ошибка среднего. Значения $p < 0,05$ рассматривались как достоверные.

Для оценки антиаритмического эффекта ДИПК и ДИПостК подсчитывалась общая длительность нарушений сердечного ритма во время 30-минутной острой коронарной окклюзии - фибрилляции желудочков (ФЖ), пароксизмальной желудочковой тахикардии (ПЖТ), парной желудочковой экстрасистолии, желудочковой экстрасистолии по типу бигеминии, также оценивалось наличие реперфузионных нарушений сердечного ритма. На основе полученных данных рассчитывались медиана (Me) и интерквартильный размах (25-й; 75-й процентиля). При сравнении групп использовали критерий Крускала—Уоллиса и тест множественных сравнений Данна.

Критериями исключения животных из опытов являлись, ЧСС до начала эксперимента менее 300 ударов в минуту и среднее АД ниже 60 мм. рт. ст.

Результаты и их обсуждение

Выживаемость крыс с ГХЕ после острой коронарной окклюзии составила 56,8% (16 крыс из 37 погибли во время острой ишемии миокарда). Причем показатель выживаемости в контрольной группе составил 63,6%, в группе ДИПК – 50,0%, в группе ДИПостК – 58,3%. Таким образом, из каждой экспериментальной группы крыс с ГХЕ для последующего анализа данных было отобрано по 7 животных.

У крыс с ГХЕ содержание ОХ в сыворотке крови составило $5,74 \pm 0,44$ ммоль/л ($p < 0,01$), ТГ – $1,21 \pm 0,17$ ммоль/л ($p < 0,01$). У крыс без ГХЕ содержание ОХ составило $1,61 \pm 0,14$ ммоль/л, ТГ – $0,50 \pm 0,05$ ммоль/л. Таким образом, результаты биохимического исследования сыворотки крови указывают на наличие ГХЕ у крыс, которым в течение 10 дней интрагастрально вводили 10% раствор холестерина.

Показатели гемодинамики во время эксперимента (после вскрытия грудной клетки, в начале 30-минутной ишемии миокарда, в начале реперфузии и далее каждые 30 минут в течение реперфузии) во всех группах крыс с ГХЕ и крыс без ГХЕ представлены в табл. 1. Во всех группах крыс с ГХЕ в течение первых минут после окклюзии ПНКА отмечалось кратковременное (3-5 мин) снижение АДср. примерно на 10-15 мм. рт. ст. Во время окончания острой коронарной окклюзии (начало реперфузии) во всех группах крыс с ГХЕ происходило некоторое (10-20 мм. рт. ст.) повышение АДср., причем в группах ДИПК и ДИПостК отличия данного показателя оказались статистически значимыми ($p < 0,01$). В дальнейшем в период реперфузии показатель АДср. во всех группах крыс с ГХЕ оставался относительно стабильным. Статистически значимых отличий между анализируемыми группами крыс с ГХЕ по показателю ЧСС на протяжении всего эксперимента выявлено не было ($p > 0,05$). В течение первых минут после окклюзии ПНКА в контрольной группе и группе ДИПК отмечалось некоторое (примерно на 10-15 уд/мин) повышение ЧСС, а в группе крыс с ГХЕ, в которой воспроизводился феномен ДИПостК, –

напротив, отмечалось снижение ЧСС примерно на 30 уд/мин. Во время начала реперфузии во всех группах крыс с ГХЕ отмечалось повышение ЧСС примерно на 20-30 уд/мин. В дальнейшем в период реперфузии ЧСС во всех группах крыс с ГХЕ оставалась относительно стабильной. Показатели гемодинамики у крыс без ГХЕ статистически значимо не отличались от таковых у крыс с ГХЕ ($p>0,05$) (табл. 1).

При сравнении ДП, характеризующего потребность миокарда в кислороде, во всех группах крыс с ГХЕ и крыс без ГХЕ до начала эксперимента статистически значимых различий выявлено не было ($p>0,05$). В начале ишемии миокарда величина ДП в анализируемых группах крыс с ГХЕ статистически значимо не отличалась ($p>0,05$). В начале реперфузии ДП достоверно различалось только в группах крыс с ГХЕ, в которых воспроизводились феномены ДИПК и ДИПостК ($p<0,05$). В дальнейшем, на протяжении реперфузии статистически значимых различий ДП во всех группах крыс с ГХЕ не отмечалось ($p>0,05$). Достоверных различий между анализируемыми группами крыс с ГХЕ и крыс без ГХЕ по показателю ДП на протяжении всего эксперимента также не выявлено ($p>0,05$).

Длительность нарушений ритма сердца во время 30-минутной окклюзии ПНКА (медиана и интерквартильный размах) у крыс с ГХЕ и крыс без ГХЕ представлена на рис. 1. В контрольной группе крыс с ГХЕ во время ишемии миокарда наблюдались нарушения ритма общей длительностью от 107 до 669 сек. При этом, у 5 из 7 крыс отмечалась ФЖ, а у 6 из 7 – ПЖТ. Реперфузионные нарушения сердечного ритма имели место у 6 крыс контрольной группы. В группе крыс с ГХЕ, в которой воспроизводился феномен ДИПК, длительность ишемических нарушений сердечного ритма составила от 14 до 112 сек. ФЖ имела место только у 1 крысы данной группы, а ПЖТ наблюдалась у 2 крыс группы ДИПК. Реперфузионные нарушения сердечного ритма были выявлены у 3 из 7 крыс группы ДИПК. В группе крыс с ГХЕ, в которой воспроизводился феномен ДИПостК, во время острой ишемии миокарда отмечались нарушения ритма сердца продолжительностью от 19 до 188 сек. Лишь у 1 из 7 крыс данной группы была выявлена ФЖ, а ПЖТ наблюдалась у 5 крыс указанной группы. Реперфузионные нарушения сердечного ритма имели место у 3 животных группы ДИПостК. Длительность аритмий в контрольной группе составила 316 (137; 563) сек, в группе ДИПК – 48 (31; 80) сек ($p<0,05$), в группе ДИПостК - 97 (78; 166) сек ($p<0,05$) (рис. 1).

Таким образом, установлено, что у крыс с ГХЕ длительность аритмий во время острой коронарной окклюзии в группе ДИПК значительно меньше, чем в контрольной группе ($p<0,05$). Также стоит отметить, что несмотря на отсутствие статистически значимых различий ($p>0,05$ по критерию Фишера), в группе крыс с ГХЕ, в которой

воспроизводился феномен ДИПК, во время острой ишемии миокарда имела место тенденция к снижению частоты встречаемости ФЖ и ПЖТ по сравнению с животными контрольной группы. Следовательно, данные исследования свидетельствуют о наличии антиаритмического эффекта феномена ДИПК у крыс с ГХЕ. Несмотря на то, что ДИПостК не оказывает влияние на нарушения сердечного ритма во время острой ишемии миокарда, продолжительность ишемических нарушений сердечного ритма в группе ДИПостК оказалась также меньше, чем у животных контрольной группы ($p < 0,05$).

При воспроизведении феноменов ДИПК и ДИПостК у крыс без ГХЕ длительность аритмий во время острой коронарной ишемии в контрольной группе составила 230 (102; 302) сек, в группе ДИПК – 5 (0; 13) сек ($p < 0,05$), в группе ДИПостК – 212 (99; 301) сек. Следовательно, у крыс без ГХЕ длительность аритмий во время острой коронарной ишемии в контрольной группе и группе ДИПостК сопоставима. Общая длительность ишемических нарушений ритма сердца в группе ДИПК значительно меньше, чем аналогичный показатель в контрольной группе ($p < 0,05$), т.е. у крыс без ГХЕ антиаритмический эффект феномена ДИПК также воспроизводится.

Таким образом, антиаритмический эффект феномена ДИПК воспроизводится как у крыс с ГХЕ, так и у крыс без ГХЕ.

Несмотря на наличие тенденции к снижению размеров зоны риска в миокарде левого желудочка во всех группах крыс с ГХЕ по сравнению с крысами без ГХЕ, статистически значимых различий между анализируемыми группами крыс с ГХЕ и крыс без ГХЕ по данному показателю не выявлено ($p > 0,05$). Таким образом, размеры зоны риска во всех группах крыс были сопоставимы (рис. 2).

На рис. 3 представлены размеры зоны некроза в миокарде левого желудочка во всех группах крыс с ГХЕ и крыс без ГХЕ. Средняя зона некроза в контрольной группе крыс с ГХЕ составила $38 \pm 4\%$ (у крыс без ГХЕ – $44 \pm 5\%$). В группе крыс с ГХЕ, в которой воспроизводился феномен ДИПК, формировался сопоставимый с контрольной группой размер зоны некроза – $46 \pm 3\%$ (у крыс без ГХЕ – $19 \pm 2\%$, $p < 0,01$). В группе крыс с ГХЕ, в которой воспроизводился феномен ДИПостК, также отмечался сопоставимый с группой контроля размер зоны некроза – $43 \pm 6\%$ (у крыс без ГХЕ – $20 \pm 3\%$, $p < 0,01$).

Следовательно, данные исследования свидетельствуют об отсутствии противоишемического эффекта феноменов ДИПК и ДИПостК у крыс с ГХЕ. У крыс без ГХЕ, напротив, воспроизводится выраженный противоишемический эффект феноменов ДИПК и ДИПостК.

Согласно современным представлениям размер очага некроза в миокарде зависит от множества факторов, в частности от длительности ишемии миокарда, размера зоны

риска, температуры тела, состояния сосудистого русла, наличия сопутствующих заболеваний и нарушений обмена веществ, в том числе липидного обмена. В исследовании длительность ишемии миокарда и температура тела животных имели одинаковые значения во всех экспериментальных группах. Учитывая наличие тенденции к снижению размеров зоны риска в миокарде левого желудочка во всех группах крыс с ГХЕ по сравнению с крысами без ГХЕ, можно предполагать, что меньшие размеры зоны риска у крыс с ГХЕ способствовали формированию более низких значений размеров зоны некроза миокарда. Был проведен дополнительный расчет размеров зоны некроза миокарда в % от массы левого желудочка (рис. 4). В результате средняя зона некроза в контрольной группе крыс с ГХЕ составила $11,4 \pm 0,6\%$ (у крыс без ГХЕ – $18,5 \pm 0,8\%$). В группе крыс с ГХЕ, в которой воспроизводился феномен ДИПК, размер зоны некроза составил $12,8 \pm 0,7\%$ (у крыс без ГХЕ – $9,1 \pm 0,4\%$, $p < 0,01$), а в группе крыс с ГХЕ, в которой воспроизводился феномен ДИПостК, – $14,3 \pm 0,7\%$ (у крыс без ГХЕ – $12,3 \pm 0,6\%$, $p < 0,01$). Таким образом, в группах крыс с ГХЕ, в которых воспроизводились феномены ДИПК и ДИПостК, размеры зоны некроза также были сопоставимы с таковыми в контрольной группе, следовательно, есть основания полагать, что в данной ситуации размеры зоны риска в миокарде левого желудочка не оказывали существенного влияния на воспроизводимость противоишемического эффекта ДИПК и ДИПостК у крыс с ГХЕ. Учитывая непродолжительный период (10 дней) моделирования ГХЕ, маловероятно, что в стенке кровеносных сосудов крыс с ГХЕ произошли значимые морфологические изменения, связанные с вызванным нарушением липидного обмена. Кроме того, согласно литературным данным потребление крысами богатой холестерином пищи в течение длительного периода времени не приводит к развитию атеросклеротических изменений в сосудах [11].

Многочисленные экспериментальные исследования посвящены выявлению возможных причин отсутствия противоишемического эффекта феноменов локального ишемического пре- и посткондиционирования у экспериментальных животных с ГХЕ. При этом большинство авторов указывает на повреждение различных компонентов RISK-киназного пути (The Reperfusion Injury Salvage Kinase), который инициируется при стимуляции рецепторов, связанных с G-белком (GPCRs), и имеет важное значение в реализации кардиопротекторных эффектов феноменов локального ишемического пре- и посткондиционирования. В частности, отсутствие противоишемического эффекта локального ишемического пре- и посткондиционирования у животных с экспериментальной моделью ГХЕ сопровождается существенным снижением фосфорилирования киназы гликоген-синтазы 3β [25, 26], а также Akt (протеинкиназа B),

ERK (Extracellular signal-regulated kinases), p70 рибосомальной S6 киназы (p70S6K) [26]. В тоже время уровень фосфорилирования данных киназ у животных с нормальным уровнем холестерина в сыворотке крови был существенно выше по сравнению с таковым у животных с ГХЕ.

Кроме того, в исследовании Sack M. et al. установлено, что при наличии ГХЕ у экспериментальных животных отсутствие противоишемического эффекта феноменов локального ишемического пре- и посткондиционирования может быть связано с нарушением синтеза монооксида азота (NO), который также имеет важное значение в реализации кардиопротекторных эффектов указанных феноменов [28]. В частности, при ГХЕ нарастающая митохондриальная дисфункция приводит к повышению оксидации тетрагидробиоптерина (ТГБП), что приводит к снижению его содержания в клетке. Потеря ТГБП, как молекулы-кофактора эндотелиальной NO-синтазы, приводит к значительному снижению активности данного фермента.

Таким образом, принимая во внимание общность механизмов реализации кардиопротекторных эффектов феноменов локального и дистантного ишемического пре- и посткондиционирования, повреждение RISK-киназного пути и нарушение синтеза NO могут объяснять отсутствие противоишемического эффекта феноменов ДИПК и ДИПостК у крыс с экспериментальной моделью ГХЕ.

Выводы

Феномены ДИПК и ДИПостК не эффективны в плане ограничения размеров зоны некроза в миокарде левого желудочка крыс с ГХЕ. В тоже время у крыс с ГХЕ воспроизводится выраженный антиаритмический эффект феномена ДИПК.

Табл. 1 Показатели гемодинамики (АД ср., мм. рт. ст. и ЧСС, уд/мин) в контрольной группе и группах крыс, в которых воспроизводились феномены ДИПК и ДИПостК (крысы с гиперхолестеринемией и крысы без гиперхолестеринемии)

Группа		Контроль		ДИПК		ДИПостК	
Крысы с ГХЕ/без ГХЕ		Крысы с ГХЕ	Крысы без ГХЕ	Крысы с ГХЕ	Крысы без ГХЕ	Крысы с ГХЕ	Крысы без ГХЕ
До начала ОИМ	АД ср.	76±5	86±5	82±7	71±3	73±3	73±3
	ЧСС	424±16	417±9	463±14	397±7	456±11	410±16
Начало ОИМ	АД ср.	73±3	77±8	68±4	74±6	64±3	74±4
	ЧСС	425±12	439±6	468±12	405±15	433±19	429±14
Начало реперфузии	АД ср.	78±5	74±2	84±5 ¹	74±4	67±2 ¹	74±4
	ЧСС	446±25	413±16	481±13	420±18	441±18	410±23
30' реперфузии	АД ср.	83±7	74±4	87±7	78±5	72±4	75±4
	ЧСС	466±20	411±12	462±8	410±19	446±19	404±22
60' реперфузии	АД ср.	77±8	73±4	84±7	82±5	73±5	78±4
	ЧСС	433±13	413±15	457±7	414±17	467±24	410±22
90' реперфузии	АД ср.	71±6	78±3	70±4	75±6	69±6	77±4
	ЧСС	432±13	433±14	441±11	411±17	462±25	396±19
120' реперфузии	АД ср.	70±5	82±5	65±4	73±4	67±6	85±3
	ЧСС	434±10	436±20	436±11	417±14	435±19	426±16

¹ – статистически значимые отличия АД ср. у крыс с гиперхолестеринемией в начале реперфузии между группами ДИПК и ДИПостК (p<0,01)

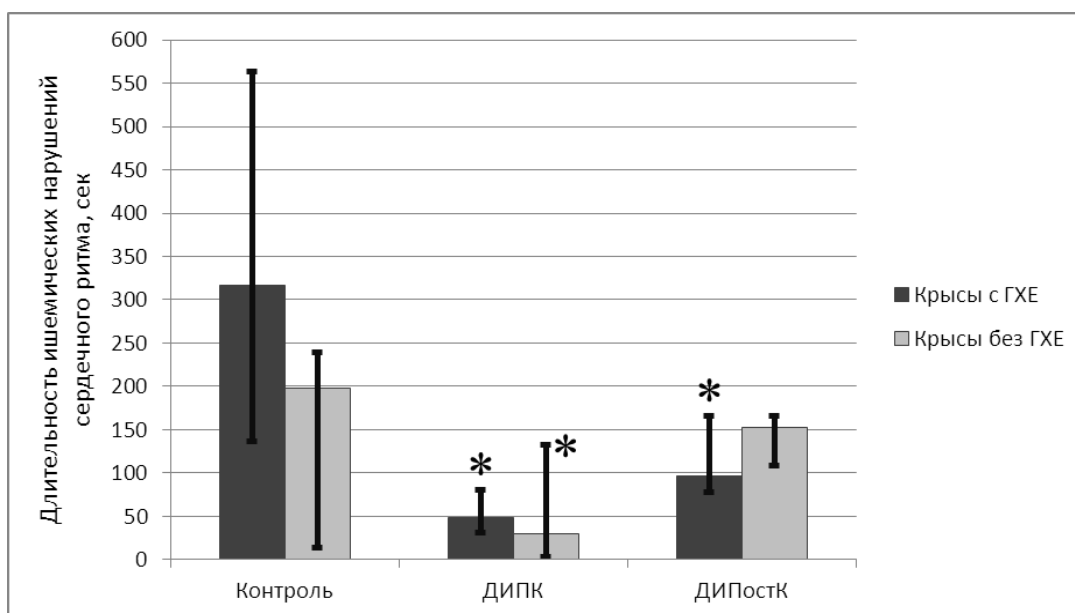


Рис. 1 Длительность нарушений сердечного ритма (в сек) во время 30-минутной коронарной окклюзии в контрольной группе и группах крыс, в которых воспроизводились феномены ДИПК и ДИПостК (крысы с гиперхолестеринемией и крысы без гиперхолестеринемии)

*- статистически значимые отличия длительности ишемических нарушений сердечного ритма у крыс с гиперхолестеринемией в группах ДИПК и ДИПостК, а также у крыс без гиперхолестеринемии в группе ДИПК по сравнению с контрольной группой ($p < 0,05$).

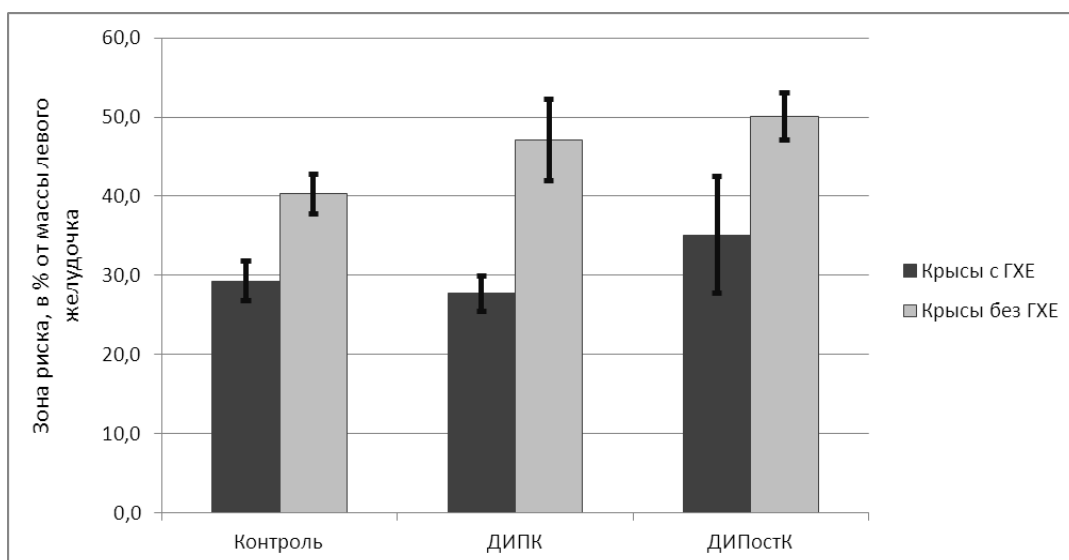


Рис. 2 Размеры зоны риска (в % от массы левого желудочка) в контрольной группе и группах крыс, в которых воспроизводились феномены ДИПК и ДИПостК (крысы с гиперхолестеринемией и крысы без гиперхолестеринемии)

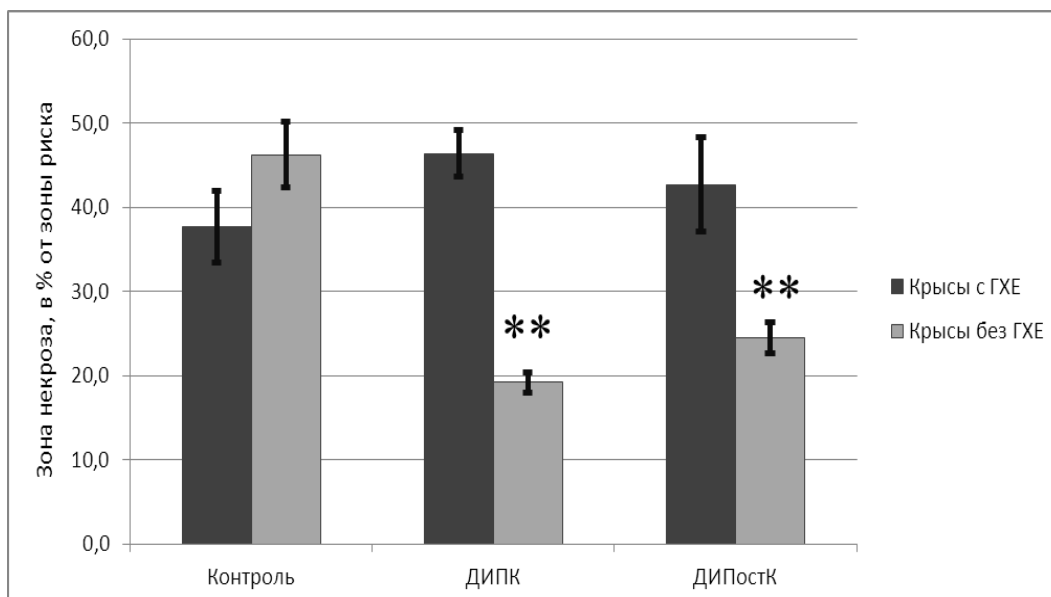


Рис. 3 Размеры зоны некроза (в % от зоны риска) в контрольной группе и группах крыс, в которых воспроизводились феномены ДИПК и ДИПостК (крысы с гиперхолестеринемией и крысы без гиперхолестеринемии)

** - статистически значимые отличия размеров зоны некроза в группах ДИПК и ДИПостК по сравнению с контрольной группой у крыс без гиперхолестеринемии ($p < 0,01$).

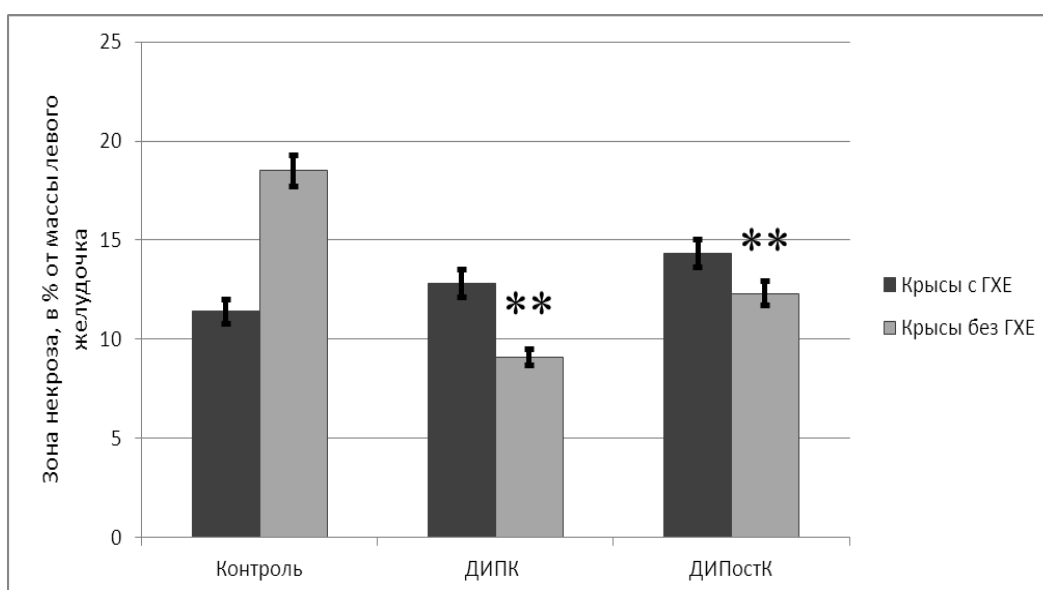


Рис. 4 Размеры зоны некроза (в % от массы левого желудочка) в контрольной группе и группах крыс, в которых воспроизводились феномены ДИПК и ДИПостК (крысы с гиперхолестеринемией и крысы без гиперхолестеринемии)

** - статистически значимые отличия размеров зоны некроза в группах ДИПК и ДИПостК по сравнению с контрольной группой у крыс без гиперхолестеринемии ($p < 0,01$).

ЛИТЕРАТУРА

1. Мрочек А.Г. и др. Сердечно-сосудистые заболевания в Республике Беларусь: анализ ситуации и стратегии контроля. – Минск: Беларус. навука, 2011. – 341 с.
2. Ludman A.J., Yellon D.M., Hausenloy D.J. Cardiac preconditioning for ischaemia: lost in translation // *Dis. Model Mech.* – 2010. – Vol.3. – p.35-38.
3. Hausenloy D.J., Yellon D.M. Preconditioning and postconditioning: new strategies for cardioprotection // *Diabetes Obes. Metab.* – 2008. – Vol.10(6). – p.451-459.
4. Li J., Xuan W., Yan R., Tropak M.B. et al. Remote preconditioning provides potent cardioprotection via PI3K/Akt activation and is associated with nuclear accumulation of β -catenin // *Clin. Sci.* – 2011. – Vol.120(10). – p.451-462.
5. Basalay M., Barsukevich V., Mastitskaya S., Mrochek A. et al. Remote ischaemic pre- and delayed postconditioning – similar degree of cardioprotection but distinct mechanisms // *Experimental Physiology.* – 2012. – Vol.97(8). – p.908-917.
6. Magill P., Murphy T., Bouchier-Hayes D.J., Mulhall K.J. Preconditioning and its clinical potential // *Ir. J. Med. Sci.* – 2009. – Vol.178(2). – p.129-134.
7. Walsh S.R., Tang T.Y., Kullar P. et al. Ischaemic preconditioning during cardiac surgery: systematic review and meta-analysis of perioperative outcomes in randomised clinical trials // *Eur. J. Cardiothorac. Surg.* – 2008. – Vol.34(5). – p.985-994.
8. Schmidt M.R., Kristiansen S.B., Botker H.E. Remote ischemic preconditioning: no loss in clinical translation // *Circ. Res.* – 2013. – Vol.113(12). – p.1278-80.
9. Cokkinos D.V., Pantos C. Myocardial protection in man – from research concept to clinical practice // *Heart Fail. Rev.* – 2007. - Vol.12. – p.345-362.
10. Rezkalla S.H., Kloner R.A. Preconditioning in humans // *Heart Fail. Rev.* – 2007. – Vol.12. – p.201-206.
11. Ferdinandy P., Schulz R., Baxter G. Interaction of cardiovascular risk factors with myocardial ischemia/reperfusion injury, preconditioning and postconditioning // *Pharmacol. Rev.* – 2007. – Vol.59. – p.418-458.
12. Tokuno S. et al. Spontaneous ischemic events in the brain and heart adapt the hearts of severely atherosclerotic mice to ischemia // *Arterioscler. Thromb. Vasc. Biol.* – 2002. – Vol. 22, №6. – P. 995–1001.
13. Heusch G., Schulz R. Neglect of the coronary circulation: some critical remarks on problems in the translation of cardioprotection // *Cardiovasc. Res.* – 2009. – Vol.84(1). – p.11–14.

14. Steensrud T., Li J., Dai X. et al. // *Am. J. Physiol. Heart Circ. Physiol.* – 2010. – Vol.299. – p.1598-1603.
15. Hausenloy D.J., Mwamure P.K., Venugopal V. et al. // *Lancet.* – 2007. – Vol.370. – p.575-579.
16. Szilvassy Z., Ferdinandy P. et al. The loss of pacing-induced preconditioning in atherosclerotic rabbits: role of hypercholesterolemia // *J. Mol. Cell. Cardiol.* – 1995. – Vol.27. – p.2559-2569.
17. Ueda Y., Kitakaze M., Komamura K. et al. Pravastatin restored the infarct size-limiting effect of ischemic preconditioning blunted by hypercholesterolemia in the rabbit model of myocardial infarction // *J. Am. Coll. Cardiol.* – 1999. – Vol.34. – p.2120-2125.
18. Iliodromitis E.K., Zoga A., Vrettou A. et al. The effectiveness of postconditioning and preconditioning on infarct size in hypercholesterolemic and normal anesthetized rabbits // *Atherosclerosis.* – 2006. – Vol.188. – p.356-362.
19. Kupai K., Csonka C., Bencsik P. et al. The cardioprotective effect of postconditioning is lost in cholesterol diet-induced hyperlipidemia in rats // *J. Mol. Cell. Cardiol.* – 2006. – Vol.40. – p.976-977.
20. Kremastinos D.T., Bofilis E., Karavolias G.K. et al. Preconditioning limits myocardial infarct size in hypercholesterolemic rabbits // *Atherosclerosis.* – 2000. – Vol.150. – p.81-89.
21. Jung O., Jung W., Malinski T. et al. Ischemic preconditioning and infarct mass: the effect of hypercholesterolemia and endothelial dysfunction // *Clin. Exp. Hypertens.* – 2000. – Vol.22. – p.165-179.
22. Osipov R.M., Bianchi C., Feng J. et al. Effect of hypercholesterolemia on myocardial necrosis and apoptosis in the setting of ischemia-reperfusion // *Circulation.* – 2009. – Vol.120. – p.22-30.
23. Balakumar P., Rohilla A., Singh M. Preconditioning and postconditioning to limit ischemia-reperfusion-induced myocardial injury: what could be the next footstep? // *Pharmacol. Res.* – 2008. – Vol.57. – p.403-412.
24. Maslov L.N., Mrochek A.G., Khaliulin I.G. et al. Adaptive phenomenon of ischemic postconditioning of the heart. Perspectives of clinical use // *Vestn. Ross. Akad. Med. Nauk.* – 2013. - №1. – p.10-20.
25. Wu N., Zhang X., Guan Y. et al. Hypercholesterolemia abrogates the cardioprotection of ischemic postconditioning in isolated rat heart: roles of glycogen synthase kinase-3 β and the mitochondrial permeability transition pore // *Cell. Biochem. Biophys.* – 2014. – Vol.69. – p.123-130.

26. Pons S., Martin V., Portal L. et al. Regular treadmill exercise restores cardioprotective signaling pathways in obese mice independently from improvement in associated comorbidities // *J. Mol. Cell. Cardiol.* – 2013. – Vol.54. – p.82-89.
27. D'Annunzio V., Donato M., Buchholz B. et al. High cholesterol diet effects on ischemia-reperfusion injury of the heart // *Can. J. Physiol. Pharmacol.* – 2012. – Vol.90. – p.1185-1196.
28. Sack M., Murphy E. The role of co-morbidities in cardioprotection // *J. Cardiovasc. Pharmacol. Ther.* – 2011. – Vol.16. – p.267-272.

УО «Белорусский государственный медицинский университет»

220116 Республика Беларусь, г. Минск, пр. Дзержинского, 83

+375 17 2726398, +375 29 6980237

Авторы:

Юшкевич Павел Францевич

(младший научный сотрудник лаборатории экспериментальной медицины, фармакологии
и токсикологии НИЧ УО БГМУ)

Висмонт Франтишек Иванович

(заведующий кафедрой патологической физиологии УО БГМУ, д.м.н., член-корр. НАН Б)

Республиканский научно-практический центр «Кардиология»

220036, Республика Беларусь, г. Минск, ул. Р. Люксембург, 110

+375 17 207 37 62

Мрочек Александр Геннадьевич

(директор РНПЦ «Кардиология», д.м.н., академик НАН Б)